

## Relatório 1ª Fase | Computação Gráfica

### Grupo 25 | 2024/2025

Afonso Dionísio  
(A104276)

João Lobo  
(A104356)

Rafael Seara  
(A104094)

Rita Camacho  
(A104439)

# Índice

1. Introdução .....	3
2. Visão Geral da Arquitetura do Projeto .....	3
3. <i>Generator</i> .....	4
3.1. Figuras Primitivas Gráficas .....	5
3.1.1. Plano .....	5
3.1.2. Caixa .....	6
3.1.3. Esfera .....	7
3.1.4. Cone .....	8
3.1.5. Cilindro .....	9
3.1.6. Torus .....	10
3.1.7. Icosfera .....	11
4. <i>Engine</i> .....	12
4.1. Renderização de Modelos .....	12
4.1.1. Parsing de <code>.obj</code> .....	13
4.2. Câmara .....	13
4.2.1. <i>Static</i> .....	13
4.2.2. <i>Turntable</i> .....	13
4.2.3. <i>Freecam</i> .....	13
4.3. <i>UI</i> .....	14
5. Conclusão .....	14

# 1. Introdução

O presente relatório apresenta informações relativas à **1ª Fase do Trabalho Prático** da Unidade Curricular **Computação Gráfica**, pertencente ao 2º Semestre do 3º Ano da Licenciatura em Engenharia Informática, realizada no ano letivo 2024/2025, na Universidade do Minho.

A 1ª Fase consistiu em implementar duas componentes essenciais do projeto, o *generator* e o *engine*, assim como algumas primitivas simples (plano, caixa, esfera e cone). Como extras, realizamos 3 primitivas adicionais (cilindro, torus e icosfera), mas também a importação de ficheiros *.obj*, 3 modos de utilização da câmara, e uma interface visual informativa.

# 2. Visão Geral da Arquitetura do Projeto

O projeto encontra-se dividido em dois programas principais: *generator* e *engine*. Este primeiro tem como propósito a geração de figuras primitivas gráficas, resultando em ficheiros *.3d*. Esses ficheiros são, depois, embutidos em ficheiros *.xml*, lidos e renderizados pelo *engine*.

### 3. *Generator*

O programa *Generator* é responsável pela **geração de modelos .3d**, que serão posteriormente renderizados pelo *engine*. As figuras geradas são obtidas através de cálculos algébricos. Nesta fase, foi apenas necessário gerar posições relativas aos vértices do modelo.

Para invocar o programa, é necessário definir o nome do modelo a ser gerado e preencher os seguintes argumentos:

Model (Figura)	Parameters (Parâmetros)
sphere	radius (float), slices (int), stacks (int)
box	length (float), divisions (int)
cone	radius (float), height (float), slices (int), stacks (int)
plane	length (float), divisions (int)
cylinder	radius (float), height (float), slices (int), stacks (int)
torus	outer_radius (float), inner_radius (float), slices (int), stacks (int)
icosphere	radius (float), subdivisions (int)

O ficheiro **.3d** gerado tem um formato parecido ao **.obj**, onde para cada linha do ficheiro, esta começa com um identificador do seu tipo (e.g **v** para vértice) e os dados correspondentes. Para esta fase, como foi apenas necessário gerar informação relativa aos vértices do objeto, só há linhas deste tipo, sendo o formato então:

**v <x> <y> <z>**

Onde **x**, **y** e **z** indicam a posição do vértice no espaço.

O conjunto de **três vértices seguidos** corresponde a **um triângulo**.

```
v 0.5 0 0
v 0 0.5 0
v 0 0 0.5
```

Listagem 1: Exemplo de um ficheiro **.3d**

Numa próxima fase, onde será necessário adicionar funcionalidades novas ao formato **.3d**, a modularidade construída tornará mais fácil esse mesmo processo.

### 3.1. Figuras Primitivas Gráficas

Foram implementadas as figuras obrigatórias: **Caixa**, **Cone**, **Esfera** e **Plano** e, adicionalmente: **Cilindro**, **Torus** e **Icosfera**.

#### 3.1.1. Plano

Para gerar um plano centralizado na origem, apoiado no plano  $xz$ , é necessário definir o **tamanho de um dos lados** (`float`) e o **número de divisões** (`int`). Com essas informações, o primeiro passo é calcular o tamanho de cada subdivisão:

$$\text{divisionSize} = \frac{\text{length}}{\text{divisions}}$$

Além disso, determinamos metade do comprimento para centralizar o plano na origem:

$$\text{halfLength} = \frac{\text{length}}{2}$$

O plano é construído iterando sobre as divisões ao longo dos eixos  $x$  e  $z$ . Inicialmente, quatro pontos são definidos para cada célula da grade.

$$P_1 = (x * \text{divisionSize}) - \text{halfLength}$$

$$P_2 = (x * \text{divisionSize}) - \text{halfLength}$$

$$P_3 = ((x + 1) * \text{divisionSize}) - \text{halfLength}$$

$$P_4 = ((x + 1) * \text{divisionSize}) - \text{halfLength}$$

Estes pontos são deslocados ao longo do eixo  $z$  até atingir o número total de divisões e, em seguida, repetimos o processo ao longo do eixo  $x$ , formando os triângulos necessários para compor a malha.

Para garantir a visualização do plano em ambas as faces, foi necessário definir duas normais em sentidos opostos.

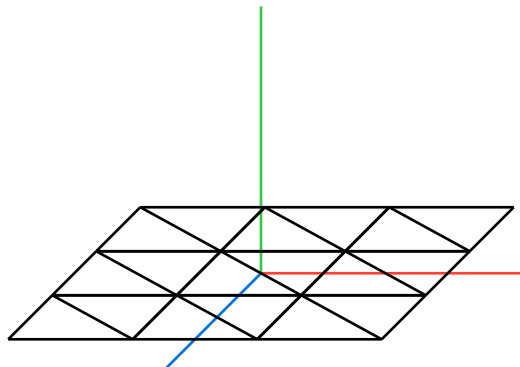


Figura 1: Geração de um plano

### 3.1.2. Caixa

Para gerar uma caixa centralizada na origem, são necessários dois parâmetros: o **tamanho total da caixa** (float) e o **número de subdivisões em cada face** (inteiro). O objetivo é dividir cada uma das faces da caixa em pequenas células quadradas, compostas por dois triângulos cada, formando uma malha triangular adequada para renderização.

Inicialmente, é calculado o semi-tamanho da caixa, que define a sua extensão desde o centro até uma das arestas:

$$\text{halfSize} = \frac{\text{size}}{2.0}$$

Em seguida, determina-se o tamanho de cada subdivisão (célula):

$$\text{step} = \frac{\text{size}}{\text{divisions}}$$

Uma caixa é composta por 6 faces: frente, trás, esquerda, direita, cima e baixo. Cada face é composta por `divisions` x `divisions` células, e cada célula é composta por dois triângulos. Cada triângulo é definido por 3 vértices, o que significa que cada célula adiciona 6 vértices à lista final.

O código percorre cada subdivisão nas duas direções de cada face. Para cada célula da grelha da face, são calculados os quatro cantos:

$$\begin{aligned}v1 &= -\text{halfSize} + i * \text{step} \\u1 &= -\text{halfSize} + j * \text{step} \\v2 &= v1 + \text{step} \\u2 &= u1 + \text{step}\end{aligned}$$

Com estas coordenadas, são formados triângulos para cada face:

#### Face Frontal (Z positivo)

Os vértices são colocados com  $z = \text{halfSize}$ .

#### Face Traseira (Z negativo)

Exatamente como a face frontal, mas com  $z = -\text{halfSize}$ .

#### Face Esquerda (X negativo)

Nesta face, os quadrados percorrem os eixos Y e Z com  $x = -\text{halfSize}$ .

#### Face Direita (X positivo)

Idêntico à face esquerda, mas com  $x = \text{halfSize}$ .

#### Face Superior (Y positivo)

Aqui percorremos X e Z, com  $y = \text{halfSize}$ .

### Face Inferior (Y negativo)

Idêntico à face superior, mas com  $y = -halfSize$ .

Todos os vértices são acumulados numa lista (`vector<vec3> vertices`), que é depois devolvida como parte do modelo .3d final.

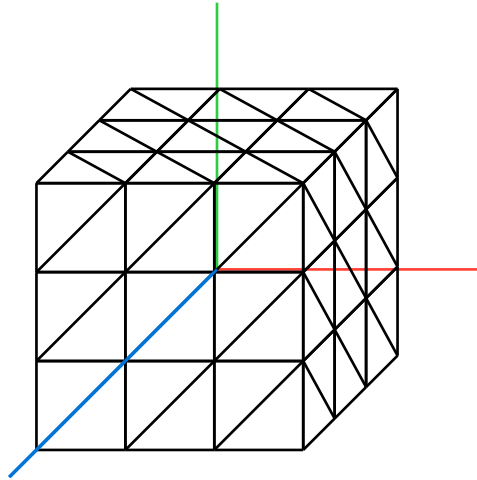


Figura 2: Geração de uma caixa

### 3.1.3. Esfera

Para a geração da esfera, centrada na origem, foram necessários como parâmetros o **raio** (float), **slices** (inteiro) e **stacks** (inteiro).

Foram utilizadas **coordenadas esféricas** no cálculo dos pontos, convertendo-as em coordenadas cartesianas através da seguinte fórmula:

$$f(r, \alpha, \beta) = (r \cos(\beta) \sin(\alpha), r \sin(\beta), r \cos(\beta) \cos(\alpha))$$

Para cada secção da esfera (composta pela *slice* e *stack* atuais), são calculados **4 pontos**, permitindo desenhar 2 triângulos:

$$P_1 = f\left(r, slice\_atual \times \frac{2\pi}{slices}, (stack\_atual + 1) \times \frac{\pi}{stacks} - \frac{\pi}{2}\right)$$

$$P_2 = f\left(r, (slice\_atual + 1) \times \frac{2\pi}{slices}, (stack\_atual + 1) \times \frac{\pi}{stacks} - \frac{\pi}{2}\right)$$

$$P_3 = f\left(r, slice\_atual \times \frac{2\pi}{slices}, stack\_atual \times \frac{\pi}{stacks} - \frac{\pi}{2}\right)$$

$$P_4 = f\left(r, (slice\_atual + 1) \times \frac{2\pi}{slices}, stack\_atual \times \frac{\pi}{stacks} - \frac{\pi}{2}\right)$$

Há ainda a necessidade de rodar a esfera 90 graus no eixo do  $z$ , de forma a que a função  $f$  funcione corretamente.

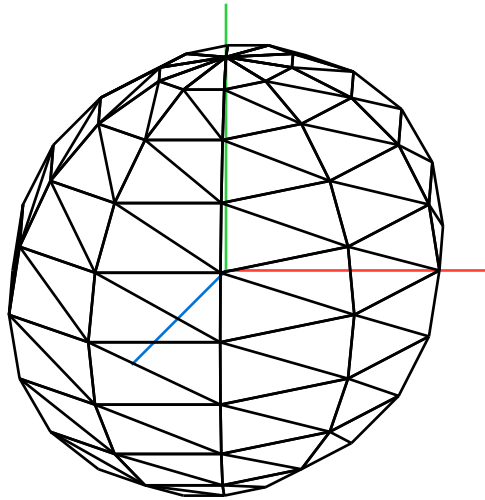


Figura 3: Geração de uma esfera

### 3.1.4. Cone

A geração do cone deve ser centrada na origem, sendo necessário indicar o **raio da base** (float), a **altura** (float), o **número de divisões ao longo da circunferência** (slices, inteiro) e o **número de subdivisões verticais** (stacks, inteiro).

Tal como nas outras figuras, começamos por calcular o tamanho do setor circular (`sliceSize`) e a altura de cada subdivisão (`stackSize`).

$$\text{sliceSize} = \frac{2 * \pi}{\text{slices}}$$

$$\text{stackSize} = \frac{\text{height}}{\text{stacks}}$$

Inicialmente, definimos o centro da base e, de seguida, construímos a superfície lateral do cone. Cada subdivisão vertical reduz progressivamente o raio da base até chegar ao vértice do cone. Para isso, calculamos os raios das secções inferiores e superiores para cada `stack`:

$$\text{currentRadius} = \text{radius} - \text{stack} * \frac{\text{radius}}{\text{stacks}}$$

$$\text{nextRadius} = \text{radius} - (\text{stack} + 1) * \frac{\text{radius}}{\text{stacks}}$$

Cada fatia (`slice`) é composta por pequenas secções triangulares, geradas ao longo da altura do cone. Cada subdivisão é formada por dois triângulos que conectam quatro vértices adjacentes:



- `bottomLeft` e `bottomRight`: pertencem ao nível atual.
- `topLeft` e `topRight`: pertencem ao nível superior.

Os triângulos são formados conectando esses pontos:

- `(topLeft, bottomLeft, bottomRight)`
- `(topLeft, bottomRight, topRight)`

Além da superfície lateral, é necessário desenhar a base do cone. Para isso, utilizamos o centro da base e conectamos cada setor circular da base ao longo dos `slices`.

Cada fatia da base é formada pelos pontos `baseBottomLeft`, `baseBottomRight` e `baseMiddle`, garantindo que a base fica completamente preenchida.

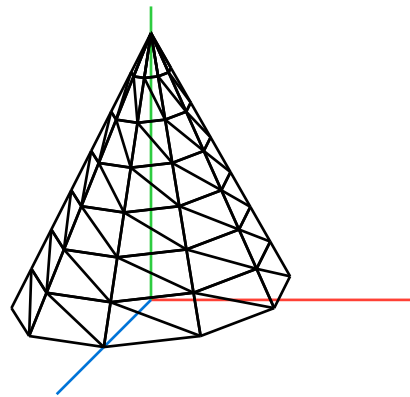


Figura 4: Geração de um cone

### 3.1.5. Cilindro

A geração do cilindro deve ser centralizada na origem, sendo necessário indicar o **raio** (`float`), a **altura** (`float`), o **número de *slices*** (`int`) e o **número de *stacks*** (`int`).

Tal como nas outras figuras, começamos por calcular o `sliceSize` e a metade da altura do sólido (`halfHeight`). Inicialmente, definimos os centros das bases inferior e superior e, em seguida, desenhmos as faces laterais do cilindro.

É importante ter em conta o número de *slices* e de *stacks*, uma vez que um menor número de *stacks* melhora o desempenho. Isto acontece porque desenhmos e calculamos menos pontos na construção do cilindro, permitindo a criação da estrutura com triângulos maiores, conforme ilustrado na figura.

Por fim, desenhmos também as bases superior e inferior, garantindo que o cilindro fica completamente fechado.

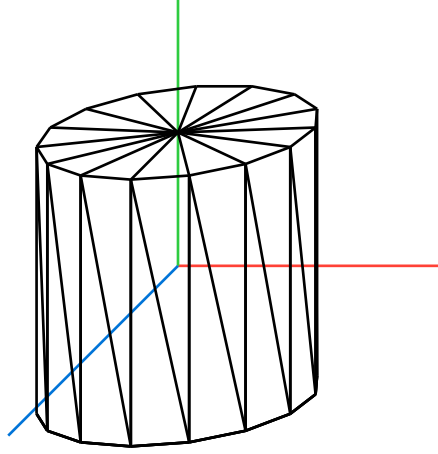


Figura 5: Geração de um cilindro

### 3.1.6. Torus

De forma a gerar o Torus, é necessário receber como argumentos o **raio**,  $R$  (float), o **raio do tubo**,  $r$  (float), **slices** (inteiro) e **stacks** (inteiro).

O cálculo dos pontos foi realizado a partir das seguintes fórmulas:

$$\varphi = \frac{\text{Slice\_atual} * 2\pi}{\text{Slices}}$$

$$\theta = \frac{\text{Stack\_atual} * 2\pi}{\text{Stacks}}$$

$$x = (R + r * \cos(\varphi)) * \cos(\theta)$$

$$y = r * \sin(\theta)$$

$$z = (R + r * \cos(\varphi)) * \sin(\theta)$$

Em cada secção, composta pela *slice* e *stack* atuais, são calculados 4 pontos (2 na *slice* atual, 2 na seguinte) que permitem desenhar 2 triângulos.

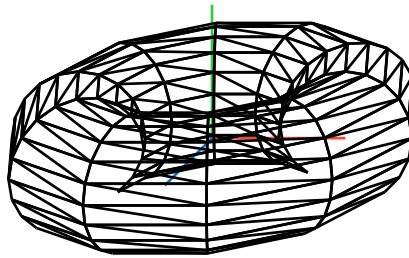


Figura 6: Geração de um torus

### 3.1.7. Icosfera

Para gerar a icosfera, são necessários os seguintes parâmetros: **raio** (float) e **subdivisões** (int).

Enquanto primitiva adicional, tivemos mais liberdade na sua geração. A icosfera começa como um **icosaedro** (icosfera com subdivisões = **1**), poliedro convexo com **12** vértices e **20** faces (triângulos equiláteros) e, a partir daí, procede-se à divisão de cada face em **4 novos triângulos equiláteros menores**.

Este processo permite, à medida que o número de subdivisões fornecido aumenta, aproximar-se cada vez mais de uma esfera, composta por apenas triângulos equiláteros (a geração ideal será entre 1 a 5 subdivisões, visto que o número de triângulos quadruplica com o aumento de 1 subdivisão, o que torna a geração muito pesada e complexa).

A transformação do antigo triângulo {A, B, C} em 4 novos triângulos menores é realizada encontrando **os pontos médios** dos 3 vértices iniciais do triângulo: A, B e C. Assim, são formados os novos vértices AB, AC e BC, originando consequentemente os novos triângulos:

{AB, A, AC}, {AB, BC, AC}, {B, AB, BC} e {BC, AC, C}.

Este processo é repetido até alcançar o número de subdivisões desejado.

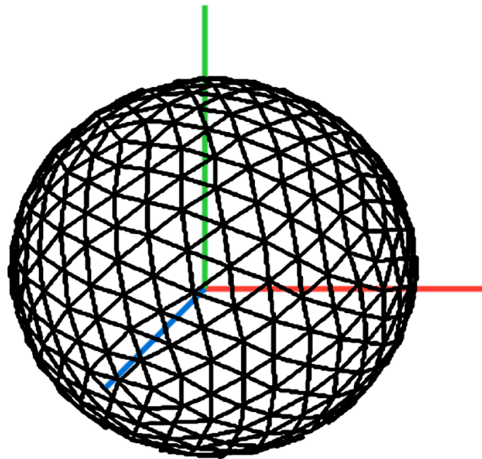


Figura 7: Geração de uma icosfera

## 4. *Engine*

O *Engine* é a aplicação responsável pela renderização de cenas compostas por modelos 3D (.3d ou .obj).

As cenas são guardadas através de ficheiros .xml que contêm a seguinte informação:

- **Janela**
  - Altura
  - Comprimento
- **Câmara**
  - Posição
  - Ponto de foco
  - Up
  - FOV, Near e Far
- **Modelos**

Estes ficheiros de cena são interpretados de forma estrutural com recurso à biblioteca `tinyxml`.

A estrutura da cena foi implementada de forma hierárquica, de modo a suportar futuras adições de objetos de tipos diferentes (como luzes).

### 4.1. Renderização de Modelos

Na fase de inicialização do programa, este lê todos os modelos utilizados na cena, e carrega os seus vértices para a memória. A cada `frame` renderizado, o programa itera pelos vértices e gera triângulos para cada grupo de 3 vértices. Esta implementação repete informação de vértices em memória, não sendo ideal. No entanto, será otimizada numa próxima fase ao implementarmos VBOs.

#### 4.1.1. Parsing de .obj

Nesta fase, para podermos observar modelos mais complexos e diferentes, decidimos implementar o *parsing* de ficheiros *Wavefront .obj*. O *parsing* destes ficheiros é bastante parecido com o dos *.3d*, sendo composto por vértices e por faces. Ao contrário do nosso ficheiro para representar modelos 3D, o *.obj* não repete vértices para representar triângulos, utilizando em vez **faces**, que contêm os índices dos vértices que as formam. Sendo assim, o que o nosso programa faz é passar pelas faces e inserir os vértices utilizados em memória. Esta implementação é rudimentar, pois apenas renderiza modelos que só possuem faces triangulares.

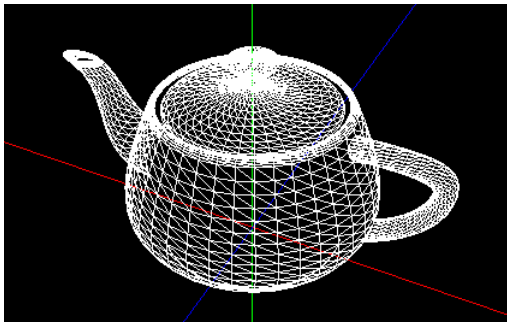


Figura 8: “Utah Teapot” - Martin Newell

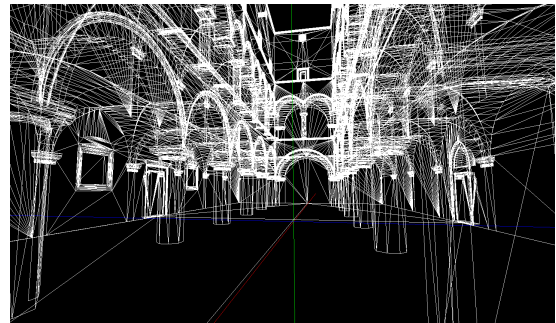


Figura 9: “Sponza” - Frank Meinl

## 4.2. Câmara

A câmara do *engine*, apesar de ser configurada inicialmente pela configuração da cena, pode ser alterada durante a execução do programa para utilizar outro modo. Para esta fase, foram implementados três modos:

#### 4.2.1. *Static*

Neste modo, a câmara fica sempre na mesma posição. É o modo *default* do *engine*, sendo utilizado na inicialização das cenas.

#### 4.2.2. *Turntable*

Neste modo, a câmara move-se de forma circular (em órbita) à volta de um ponto fixo. O utilizador pode ativar este modo pressionando a tecla *T*.

#### 4.2.3. *Freecam*

Neste modo, ativado através da tecla *F*, o utilizador pode movimentar a câmara pela cena em primeira pessoa. Este suporta a rotação da mesma através de movimentos no *MOUSE*, e a alteração da sua posição através das teclas *W* (frente), *A* (esquerda), *S* (trás), *D* (direita), *SHIFT* (baixo) e *SPACE* (cima).

### 4.3. UI

O engine possui uma *interface* sob a cena a ser renderizada com informação útil. Esta permite que o utilizador troque de cena (selecione um novo ficheiro `.xml`), e que veja o valor de FPS (*frames per second*) num dado momento, sendo útil para ir analisando a *performance* da implementação. Recorremos à biblioteca `Dear ImGui` para facilitar a implementação da *interface*.

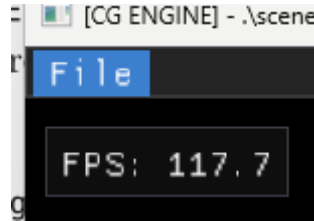


Figura 10: Medidor de FPS

## 5. Conclusão

Concluindo, acreditamos ter alcançado uma base bastante sólida na 1ª fase do projeto, o que nos permitirá avançar eficientemente nos próximos passos e tarefas, garantindo assim ótimos resultados nas fases seguintes.